

УДК 621.391

СИНТЕЗ РЕКУРРЕНТНЫХ ФИЛЬТРОВ СКОЛЬЗЯЩЕГО ОКНА В БАЗИСАХ ФУНКЦИЙ ВИЛЕНКИНА-КРЕСТЕНСОНА

В. П. Волчков, профессор МТУСИ, д.т.н.; volchkovvalery@mail.ru,

А. М. Шлома, профессор МТУСИ, д.т.н.; alremizov@yandex.ru

Приведен синтез рекуррентных цифровых m -фильтров скользящего окна произвольного динамического порядка, согласованных с базисом функций Виленкина-Крестенсона. Предлагаемый фильтр является многоканальным, т.е. приспособленным к рекуррентной обработке не только скалярных, но и векторных сигналов. Показано, что данные фильтры допускают эффективную вычислительную реализацию и хорошо аппроксимируют желаемую амплитудно-частотную характеристику (АЧХ).

Ключевые слова: цифровой m -фильтр, рекуррентный фильтр, БИХ-фильтр, фильтрация сигналов, векторные сигналы, обработка изображений, функции Виленкина-Крестенсона, m -корреляционная матрица.

Введение. Синтез специальных цифровых m -фильтров позволяет вести рекуррентную многоканальную обработку сигнала в пределах скользящего временного (или пространственного) окна с заданными АЧХ. По сути дела, такой фильтр совмещает известные достоинства КИХ- и БИХ-фильтров — простоту синтеза, относительно небольшой объем памяти и возможность быстрой вычислительной реализации. Но при этом предлагаемый m -фильтр многоканален, т.е. приспособлен к рекуррентной обработке не только скалярных, но и векторных сигналов, например, к построчной обработке изображений и др.

Главная особенность таких фильтров — специальная структура матричных параметров, согласованная с базисом функций Виленкина-Крестенсона (ВКФ), позволяющая, с одной стороны, упростить процедуру их оптимального синтеза, а с другой, обеспечить эффективную вычислительную реализацию. Причем, в отличие от аналогичных рекуррентных фильтров первого порядка [1], мы обобщаем их на произвольный динамический порядок p , что позволяет улучшить АЧХ и расширить область применения.

Формулировка задачи и ее решение. Во временной области рекуррентный цифровой m -фильтр скользящего окна p -го порядка, согласованный с базисом ВКФ, представляется в виде векторной динамической системы специального вида:

$$\mathbf{z}_k = \mathbf{A}_1 \mathbf{z}_{k-1} + \mathbf{A}_2 \mathbf{z}_{k-2} + \dots + \mathbf{A}_p \mathbf{z}_{k-p} + \mathbf{G} \mathbf{s}_k, \quad (1)$$

$$k \in J_M = \{0, 1, \dots, M-1\}.$$

Здесь $\mathbf{A}_\mu = (A_\mu(i \ominus j))$, $\mathbf{G} = (G(i \ominus j))$ (\ominus символ поразрядного вычитания по модулю m) — вещественные матрицы размерности $n \times n$, имеющие блочно-циркулянтную структуру вида:

$$\mathbf{A}_\mu = \begin{pmatrix} \mathbf{A}_{\mu,0} & \mathbf{A}_{\mu,q-1} & \dots & \mathbf{A}_{\mu,1} \\ \mathbf{A}_{\mu,1} & \mathbf{A}_{\mu,0} & \dots & \mathbf{A}_{\mu,2} \\ \vdots & \vdots & \ddots & \vdots \\ \mathbf{A}_{\mu,q-1} & \mathbf{A}_{\mu,q-2} & \dots & \mathbf{A}_{\mu,0} \end{pmatrix};$$

$$\mathbf{A}_{\mu,l} = \begin{pmatrix} a_{\mu,l}^{(0)} & a_{\mu,l}^{(m-1)} & \dots & a_{\mu,l}^{(1)} \\ a_{\mu,l}^{(1)} & a_{\mu,l}^{(0)} & \dots & a_{\mu,l}^{(2)} \\ \vdots & \vdots & \ddots & \vdots \\ a_{\mu,l}^{(m-1)} & a_{\mu,l}^{(m-2)} & \dots & a_{\mu,l}^{(0)} \end{pmatrix}, \quad \mu = 1, \dots, p, \quad (2)$$

где $n = m^\alpha$ ($\alpha, m \neq 1$ — целые положительные числа); $q = n/m$ — число различных циркулянтно чередующихся блоков $\mathbf{A}_{\mu,0}, \dots, \mathbf{A}_{\mu,q-1}$, каждый из которых является циркулянтной вещественной матрицей размерности $m \times m$; собственные числа матриц \mathbf{A}_μ лежат внутри единичного круга; $\mathbf{z}_k, \mathbf{s}_k \in \mathbb{R}^n$, т.е. на вход фильтра (1) подается векторный сигнал $\{\mathbf{s}_k, k \in I_M\}$, а на выходе формируется векторный сигнал $\{\mathbf{z}_k, k \in J_M\}$.

Предполагается, что каждый вектор

$$\mathbf{s}_k = (s_k^{(0)}, s_k^{(1)}, \dots, s_k^{(n-1)})^T = (s_{i_k}, s_{i_k+1}, \dots, s_{i_k+n-1})^T$$

составлен из значений скалярного сигнала $\{s(i), i \in J_N\}$ в скользящем временном окне

$$\Delta_k = \{i_k, i_k + 1, \dots, i_k + n - 1\} \subseteq I_N = \{0, 1, \dots, N - 1\}, \quad (3)$$

$$i_k = (n - \nu)k, \quad k = 0, 1, 2, \dots,$$

где $N = m^{\alpha_0}$ ($\alpha_0 \geq \alpha$). При этом окна (кадры) $\{\Delta_k, k \in J_M\}$ могут пересекаться с параметром зацепления $0 \leq \nu \leq n - 1$, показывающим сколько общих элементов у соседних векторов \mathbf{s}_k и \mathbf{s}_{k+1} . Аналогичная структура будет и у выходных векторов \mathbf{z}_k . Поэтому до начала фильтрации следует представить входной сигнал $\{s(i), i \in J_N\}$ в виде последовательности векторов $\{\mathbf{s}_k, k \in J_M\}$ с форматом скользящего окна (кадра) (3), а после фильтрации, если это необходимо, выполнить обратное преобразование выходной последовательности $\{\mathbf{z}_k, k \in I_M\}$ в скалярный сигнал $\{z(i), i \in J_N\}$.

На практике реальный сигнал, который мы хотим обрабатывать с помощью m -фильтра скользящего окна, может быть не только скалярным, но и векторным. Поэтому до начала фильтрации его следует реформировать в соответствии со структурой фильтра (1). В общем случае, данное преобразование сигнала можно условно разделить на два этапа. Сначала выстраиваем все его элементы друг за другом в одну скалярную последовательность $\{s(i), i \in I_N\}$ размера N , а затем реформируем ее в последовательность векторов $\{\mathbf{s}_k, k \in I_M\}$ с форматом скользящего окна (3). Если исходный сигнал — скалярный, то первый этап можно опустить. Если сигнал — векторный, (например, состоит из векторов-столбцов некоторой матрицы элементов изображения) и необходимо фильтровать его по тем же столбцам без внесения перекрытия ($\nu = 0$), то оба этапа можно пропустить. Во всех остальных случаях следует использовать оба

этапа дофильтрового преобразования исходного сигнала. После фильтрации следует выполнить обратное структурное преобразование выходной последовательности $\{\mathbf{z}_k, k \in I_M\}$ в векторный сигнал исходного формата.

Отметим, что параметр ν позволяет гибко управлять процедурой фильтрации в зависимости от типа решаемой задачи. Например, если важно обеспечить только сглаживание данных «от кадра к кадру», то следует положить $\nu = 0$; если нужно дополнительное сглаживание в пределах каждого кадра, то $\nu \geq 1$.

В частном случае, когда $\nu = 0, M = 1, p = 0$, получаем $N = n, \mathbf{A}_\mu = \mathbf{0}$ — вариант нерекуррентного КИХ-фильтра [2]. Если $\alpha_o \rightarrow \infty$, то $N, M \rightarrow \infty$, а уравнение (1) определяет БИХ-фильтр скользящего окна на дискретном бесконечном интервале $J_\infty = \{0, 1, 2, \dots\}$, который при $\alpha = 0, n = 1$ превращается в обычный БИХ-фильтр. Специальная блочная структура (2) матриц \mathbf{A}_μ и \mathbf{G} обеспечивает их диагонализацию после соответствующего разложения в базисе ВКФ [3], а значит и быструю вычислительную реализацию фильтра (1).

Пусть теперь задана некоторая АЧХ $K_{\text{ж}}(f), f \in [-F, F]$, определяемая как модуль соответствующего комплексного коэффициента передачи желаемого фильтра. Тогда, автокорреляционная функция дискретной ИХ желаемого фильтра

$$B(\tau) = \int_{-F}^F K_{\text{ж}}^2(f) \exp(j2\pi f \delta_i \tau) df, \tau = 0, \pm 1, \pm 2, \dots, \quad (4)$$

где $\delta_i = 1/2F$ — частота дискретизации по времени. Используя (3), применим к последовательности $\{B(\tau)\}$ процедуру разбиения на кадры и определим на них систему корреляционных функций и матриц для ИХ желаемого фильтра

$$B_k(\tau) = B((n - \nu)k + \tau), \tau \in J_n, k = 0, 1, 2, \dots; \quad (5)$$

$$\mathbf{B}_k \triangleq (B_k | i - j), i, j \in I_n, k = 0, 1, 2, \dots, \quad (6)$$

где $J_n = \{0, 1, \dots, n - 1\}$. В силу четности $B(\tau) = B(-\tau)$ отрицательные временные сдвиги не рассматриваются. Отметим, что корреляционная функция (4) эквивалентна любой из систем (5), (6), так как процедура перехода от (4) к формату скользящего окна (5) взаимнооднозначна.

Рассмотрим теперь выход \mathbf{z}_k фильтра (1) в разные моменты времени $k = 0, 1, 2, \dots$, подав на его вход векторный белый шум $\{\mathbf{e}_k\}$ с параметрами $M[\mathbf{e}_i] = 0, M[\mathbf{e}_i \mathbf{e}_{i+k}^T] = \mathbf{I} \delta(k), k = 0, 1, 2, \dots, (\delta(\cdot) — функция Кронекера).$

Нетрудно убедиться, что система ковариационных матриц $\mathbf{R}_k = M[\mathbf{z}_i \mathbf{z}_{i+k}^T], k = 0, 1, 2, \dots$, выходного сигнала будет иметь блочно-циркулянтную структуру вида (2), согласованную с базисом ВКФ (обозначим множество всех таких матриц через Ω). Матрицы \mathbf{R}_k зависят от параметров фильтра $\mathbf{A}_1, \dots, \mathbf{A}_p, \mathbf{G}$ и по смыслу совпадают с корреляционными матрицами ИХ фильтра (1) в формате скользящего окна (3).

Задача синтеза рекуррентного фильтра (1) по заданной АЧХ $K_{\text{ж}}(f)$ может быть конкретизирована следующим образом. Требуется найти оптимальные значения параметров $\hat{\mathbf{A}}_1, \dots, \hat{\mathbf{A}}_p, \hat{\mathbf{G}}$, при которых удовлетворяется критерий качества

$$(\hat{\mathbf{A}}_1, \dots, \hat{\mathbf{A}}_p, \hat{\mathbf{G}}) : \varepsilon_k^2 \triangleq \|\mathbf{B}_k - \mathbf{R}_k\|_F^2 \rightarrow \min_{\mathbf{A}_1, \dots, \mathbf{A}_p, \mathbf{G} \in \Omega}, \quad (7)$$

$$k = 0, 1, \dots, p.$$

Очевидно, чем меньше ошибки ε_k^2 , тем меньше различие между корреляционными характеристиками желаемого и рекуррентного фильтра (1). Решая экстремальную задачу (7) методом, аналогичным описанному в [4], получим

$$(\hat{\mathbf{A}}_1 \dots \hat{\mathbf{A}}_p) = (\mathbf{\Gamma}_1^T \dots \mathbf{\Gamma}_p^T) \begin{pmatrix} \mathbf{\Gamma}_0 & \dots & \mathbf{\Gamma}_{p-1}^T \\ \vdots & \ddots & \vdots \\ \mathbf{\Gamma}_{p-1} & \dots & \mathbf{\Gamma}_0 \end{pmatrix}^{-1}; \quad (8)$$

$$\hat{\mathbf{G}} = \mathbf{Q}^{1/2}, \quad \mathbf{Q} = \mathbf{\Gamma}_0 - (\hat{\mathbf{A}}_1 \dots \hat{\mathbf{A}}_p) \begin{pmatrix} \mathbf{\Gamma}_1 \\ \vdots \\ \mathbf{\Gamma}_p \end{pmatrix};$$

$$\mathbf{\Gamma}_k = \mathbf{B}_k^{(m)} = \mathbf{W} \text{Diag}(\mathbf{W}^H \mathbf{B}_k \mathbf{W}) \mathbf{W}^H, k = 0, 1, 2, \dots, p. \quad (9)$$

В этом выражении $\mathbf{W} = \left((1/\sqrt{n}) \text{Hад}(\mu, \tau) \right)$, $\mu, \tau \in J_n$ — унитарная матрица, составленная из нормированных значений ВКФ $\text{Hад}(\mu, \tau)$ [3]; $\text{Diag}(\mathbf{A})$ — диагональная матрица, составленная из элементов главной диагонали матрицы \mathbf{A} ; H — символ эрмитового сопряжения.

Рекуррентный m -фильтр (1) с параметрами $\hat{\mathbf{A}}_1, \dots, \hat{\mathbf{A}}_p, \hat{\mathbf{G}}$ принимает вид:

$$\mathbf{z}_k = \hat{\mathbf{A}}_1 \mathbf{z}_{k-1} + \hat{\mathbf{A}}_2 \mathbf{z}_{k-2} + \dots + \hat{\mathbf{A}}_p \mathbf{z}_{k-p} + \hat{\mathbf{G}} \mathbf{s}_k, k = 0, 1, 2, \dots, \quad (10)$$

и обеспечивает наилучшее приближение к АЧХ $K_{\text{ж}}(f), f \in [-F, F]$ желаемого фильтра. Чем больше динамический порядок фильтра p , тем больше матричных параметров $\hat{\mathbf{A}}_\mu$, а значит и корреляционных матриц \mathbf{B}_k , участвуют в этом приближении.

Важно отметить, что параметры фильтра (10) не зависят от N , т.е. длины временного интервала $J_N = \{0, 1, \dots, N - 1\}$, на котором определялся скалярный входной сигнал $\{s(i), i \in J_N\}$. Поэтому формулы (8) справедливы для любых значений N , т.е. описывают структуру рекуррентного БИХ-фильтра скользящего окна.

Вычислительная реализация. Покажем, что полученный оптимальный фильтр допускает быструю вычислительную реализацию. Для этого осуществим линейное унитарное преобразование ВКФ над векторами входного и выходного сигналов

$$\mathbf{z}_{*k} = \mathbf{W}^H \mathbf{z}_k, \mathbf{s}_{*k} = \mathbf{W}^H \mathbf{s}_k.$$

Тогда, с учетом свойства унитарности $\mathbf{W} \mathbf{W}^H = \mathbf{I}$, фильтр (10) преобразуются к виду:

$$\mathbf{z}_{*k} = \hat{\mathbf{A}}_{*1} \mathbf{z}_{*k-1} + \hat{\mathbf{A}}_{*2} \mathbf{z}_{*k-2} + \dots + \hat{\mathbf{A}}_{*p} \mathbf{z}_{*k-p} + \mathbf{G}_{*} \mathbf{s}_{*k}, k = 1, 2, \dots; \quad (11)$$

$$\hat{\mathbf{A}}_{*\mu} = \mathbf{W}^H \hat{\mathbf{A}}_\mu \mathbf{W}, \hat{\mathbf{G}}_{*} = \mathbf{W}^H \hat{\mathbf{G}} \mathbf{W}, \mu = 1, 2, \dots, p, \quad (12)$$

где матрицы $\hat{\mathbf{A}}_{*\mu}, \hat{\mathbf{G}}_{*}$ — диагональные. Таким образом, после перехода в спектральную область ВКФ рекуррентный фильтр представляется в канонической форме (11), требующей минимального числа вещественных умножений $L = 4(p + 1)n$ на один рекуррентный пересчет. В частности, если $m = 2$, а сигнал \mathbf{s}_k вещественный, то $\sqrt{n} \mathbf{W}$ — матрица Уолша, состоящая только из элементов ± 1 ; все матрицы $\hat{\mathbf{A}}_{*\mu}, \hat{\mathbf{G}}_{*}$ — вещественные диагональные, а число умножений уменьшается 4 раза. При этом перевод сигнала в спектральную область также предельно упрощается.

Сравнительный анализ характеристик фильтров. Ниже в качестве примера исследуется работа рекуррентного m -фильтра скользящего окна, синтезированного в базисах дискретных экспоненциальных функций (ДЭФ) и Уолша. Для сравнения рассматривались фильтры с динамическим порядком $p = 3$ и $p = 4$, с размерами скользящего окна $n = 4$ или $n = 1$ и разными параметрами зацепления v .

Напомним, что базисы ДЭФ и Уолша являются частными представителями базисов ВКФ и отвечают значениям $m = n$ и $m = 2$, соответственно (см. описание модели (1)). Им соответствуют унитарные матрицы дискретного преобразования Фурье (ДПФ) и Уолша, имеющие вид:

$$W = \left(\frac{1}{\sqrt{n}} \exp \left\{ j \frac{2\pi h w}{n} \right\} \right), h, w = 1, \dots, n; \quad (\text{базис ДЭФ});$$

$$W = \left(\frac{1}{\sqrt{n}} (-1)^{\sum_{i=1}^k h_{k+1-i} w_i} \right), k = \log_2(n), \quad (\text{базис Уолша}),$$

где h_i, w_i — i -е разряды двоичного представления чисел h и w , соответственно.

В рассматриваемом примере предполагается, что входной сигнал — скалярная последовательность $\{s(i), i \in J_N\}$, полученная в результате дискретизации по времени некоторого непрерывного вещественного сигнала $s(t)$. Поэтому перед подачей на вход фильтра (1) этот сигнал преобразуется в последовательность векторов $\{s_k, k \in J_M\}$ с форматом скользящего окна (3). В качестве желаемой АЧХ фильтра выбрана трехмодальная характеристика, квадрат которой описывается выражением:

$$K_x^2(f) = \sum_{k=1}^3 \alpha_k f_{ok}^2 / [\pi^2(f^2 - f_{ok}^2)^2 + \alpha^2 f^2],$$

где $f_{ok} = (1/2\pi)\sqrt{\alpha_k^2 + w_1^2}$, $w_k = 2\pi f_k$, $f_1 = 31$, $f_2 = 59$, $f_3 = 90$, $\alpha_1 = 49,87$, $\alpha_2 = 68,54$, $\alpha_3 = 84,53$, $\delta_t = 1/2F$, $F = 126$ и изображен на рис. 1 и 2 в виде кривой $K(k) = K_x^2(k\delta_f)$, $k \in J_N$. Здесь $\delta_f = 1/(N\delta_t)$ — интервал дискретизации по частоте; $N = 64$. Дискретная корреляционная функция ИХ желаемого фильтра определяется формулой (4) и описывается выражением

$$B(\tau) = \sum_{k=1}^3 \exp(-\alpha_k \delta_t |\tau|) \times \left[\cos(2\pi f_{ok} \delta_t \tau) + \frac{\alpha_k}{2\pi f_k} \sin(2\pi f_{ok} \delta_t |\tau|) \right], \tau = 0, \dots, N-1.$$

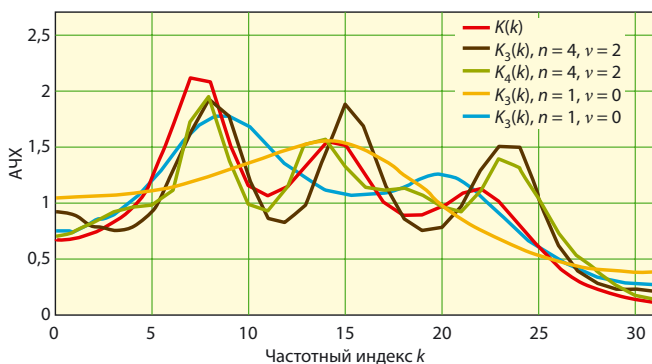


Рис. 1. Фильтр скользящего окна в базисе ДЭФ



Рис. 2. Фильтр скользящего окна в базисе Уолша

Оптимальные параметры рекуррентных фильтров 3-го и 4-го порядков для разных значений n и v , указанных на графиках, рассчитывались по формулам (8). Корреляционные матрицы ИХ этих фильтров являются m -циркулянтными и описываются выражением (9). Учитывая структуру скользящего окна (3), для разных динамических порядков p по формулам (5), (6) однозначно записываются соответствующие корреляционные функции $B_{op}(\tau)$ ИХ фильтров на интервале времени $J_N = \{0, 1, \dots, N-1\}$. В результате квадраты АЧХ синтезированных фильтров на дискретном интервале J_N будут определяться выражениями:

$$K_p(k) = \sum_{\tau=0}^{N-1} B_{op}(\tau) \exp \left(-j \frac{2\pi \tau k}{n} \right), \quad (13)$$

$$k \in \{0, \dots, N-1\}, p = 3; 4.$$

Теоретические кривые, рассчитанные по (13) для разных значений p, n, v представлены на рис. 1 и 2. Отметим, что при $n = 1, v = 0$ рекуррентный векторный фильтр (1) превращается в обычный скалярный БИХ-фильтр соответствующего порядка. Выбор пары значений n, v в остальных случаях, приведенных на графиках (процедура идентификации модели), проводился из условия минимизации суммарной ошибки $\bar{\varepsilon}^2 = \sum_{k=0}^p \varepsilon_k^2$, где ε_k^2 определяется выражением (7).

Заключение. Сравнительный анализ кривых на рис. 1 и 2 дает возможность сделать следующие выводы.

1. Известные скалярные БИХ-фильтры 3-го и 4-го порядка ($n = 1, v = 0$) не позволяют адекватно аппроксимировать желаемую АЧХ. В частности, трехмодальность кривой $K(k)$ не может быть отражена ни одним из этих фильтров.

2. В то же время, рекуррентные m -фильтры скользящего окна 3-го порядка в базисах ДЭФ и Уолша с размером окна $n = 4$ и параметром зацепления $v = 2$ хорошо воспроизводят трехмодальный вид желаемой АЧХ.

3. Несмотря на практически одинаковое качество аппроксимации желаемой АЧХ, рекуррентный фильтр в базисе Уолша обладает более простой вычислительной реализацией и поэтому оказывается предпочтительнее.

Следует также отметить, что с ростом динамического порядка p аппроксимирующие свойства всех сравниваемых рекуррентных фильтров увеличиваются. Однако при использовании m -фильтров для достижения одного и того же качества аппроксимации желаемой АЧХ требуется меньшее значение p .

ЛИТЕРАТУРА

1. **Волчков В. П.** Синтез рекуррентных m -фильтров с заданной амплитудно-частотной характеристикой // Научные ведомости Белгородского государственного университета. Сер. Информатика и прикладная математика. — Белгород: Изд-во БелГУ, 2006. — Вып. 3, № 2 (31). — С. 195—201.
2. **Волчков В. П.** Фидуциальное оценивание m -стационарных гауссовских случайных процессов // Радиотехника и электроника. — 1997. — Т. 42, № 2. — С. 150—160.
3. **Трахтман А. М., Трахтман В. А.** Основы теории дискретных сигналов на конечных интервалах. — М.: Сов. радио, 1975. — 208 с.
4. **Волчков В. П., Поборчая Н. Е.** Представление случайных процессов векторной рекуррентной циркулянтной моделью второго порядка // Журнал радиоэлектроники (электронный журнал ИРЭ РАН), № 12, 2013. URL: <http://jre.cplire.ru/jre/dec13/14/text.pdf>

Получено 03.02.14

УДК 621.395

АНАЛИЗ РАБОТЫ КОМПЕНСАТОРА ИСКАЖЕНИЙ КАМ-СИГНАЛА, НАБЛЮДАЕМОГО НА ФОНЕ АДДИТИВНОГО ШУМА

Н. Е. Поборчая, доцент МТУСИ, к.т.н.; n.poborchaya@mail.ru

Проведен анализ работы компенсатора искажений QAM-сигнала, наблюдаемого на фоне аддитивного шума. Проведено сравнение двух алгоритмов компенсации (вариационного алгоритма и процедуры нелинейной фильтрации) при разных моделях фазовых шумов и шумов наблюдений по точности и вероятности ошибки на символ, достигаемой при приеме сигнала после компенсации. Вычислительный эксперимент показал, что синтезированные алгоритмы устойчивы к отклонению закона распределения шума наблюдения от гауссовского.

Ключевые слова: оценка, выборка, нелинейная фильтрация, регуляризирующий алгоритм, модифицированный метод наименьших квадратов, компенсатор искажений, негауссовский шум.

Введение. Процедуры компенсации искажений, не связанные с видом тестовой последовательности, позволяют оценивать параметры по детектируемым информационным символам. Неизвестные параметры всегда определяют при наличии фазового шума. Для того чтобы провести компенсацию искажений сигнала, необходимо сначала определить его параметры и амплитудно-фазовый разбаланс между квадратурной и синфазной компонентами. Таким образом, задача сводится к оценке параметров случайного процесса на фоне шума.

Синтез алгоритмов рассмотрим на примере компенсации искажений сигнала квадратурной амплитудной модуляции (КАМ, М-QAM), наблюдаемого на фоне аддитивного негауссовского белого шума. Предлагаются два подхода: метод нелинейной фильтрации и вариационный алгоритм [1, 2].

Постановка задачи. Рассмотрим КАМ-сигнал $\mathbf{z}_i = \mathbf{S}_i(\Theta_i)$, наблюдаемый на фоне шума μ_i :

$$\mathbf{y}_i = \mathbf{z}_i + \mu_i.$$

Здесь $i = \overline{1, m}$ — дискретное время, $m = T_0 / \Delta t$, T_0 — время наблюдения, Δt — интервал дискретизации;

$\Theta_i = (a_{1i} \dots a_{pi} \varphi_i \Delta f_i \gamma_i \Delta \varphi_i b_{ci} b_{si})^T$ — вектор оцениваемых параметров («Т» — оператор транспонирования);

$\mathbf{y}_i = (y_{is} y_{ic})^T$, $\mu_i = (\mu_{is} \mu_{ic})^T$; $\mathbf{S}_i(\bullet) = (z_{is} z_{ic})^T$ — нелинейная вектор-функция. Она описывается квадратурными компонентами сигнала z_{is}, z_{ic} [3, 4]:

$$z_{is} = \gamma_i A \sum_{k=1}^i g(\Delta t i - kT - \tau_i) (I_{kq} \sin(\Theta_{ik} + \Delta \varphi_i) + J_{kr} \cos(\Theta_{ik} + \Delta \varphi_i)) + b_{si};$$

$$z_{ic} = A \sum_{k=1}^i g(\Delta t i - kT - \tau_i) (I_{kq} \cos(\Theta_{ik}) - J_{kr} \sin(\Theta_{ik})) + b_{ci},$$

где $\Theta_{ik} = \Delta \omega_i (\Delta t i - \tau_i) + \varphi_i$, φ_i — случайная фаза, образованная фазами генераторов на передающей и приемной стороне, а также задержкой в канале распространения; τ_i — задержка сигнала, возникающая при работе генератора тактовой синхронизации; $\Delta \omega_i = 2\pi \Delta f_i$, Δf_i — частота, оставшаяся от снятия несущей.

Параметры γ_i , $\Delta \varphi_i$ представляют собой разбаланс по амплитуде и фазе, соответственно; b_{ci}, b_{si} — медленно меняющиеся «постоянные» составляющие квадратурных компонент сигнала;

$I_{kq} = (2q - 1 - \sqrt{M})d$, $J_{kr} = (2r - 1 - \sqrt{M})d$ — информационные амплитуды, принимающие дискретные значения, $q, r = \overline{1: \sqrt{M}}$, $2d$ — расстояние между соседними амплитудами; A — амплитуда сигнала;

$(m_1 - 1)T \leq \Delta t i - \tau_i \leq m_1 T$, T — длительность символа $I_k(J_k)$, (J_k) , $m_1 = 1, n$, $n = T_0 / T$; a_{1i}, \dots, a_{pi} — амплитуды основного импульса сигнала и $p - 1$ «хвостов» прошлых импульсов в i -й момент времени, полученных в результате межсимвольной интерференции;

$$g(t) = \frac{\sin(\pi t / T) \cos(\beta \pi t / T)}{\pi t / T \sqrt{1 - 4\beta^2 t^2 / T^2}}$$

— импульсная характеристика (ИХ) канала, частотная характеристика которого имеет вид «приподнятого косинуса»; $\beta \in [0; 1]$ — коэффициент ската.